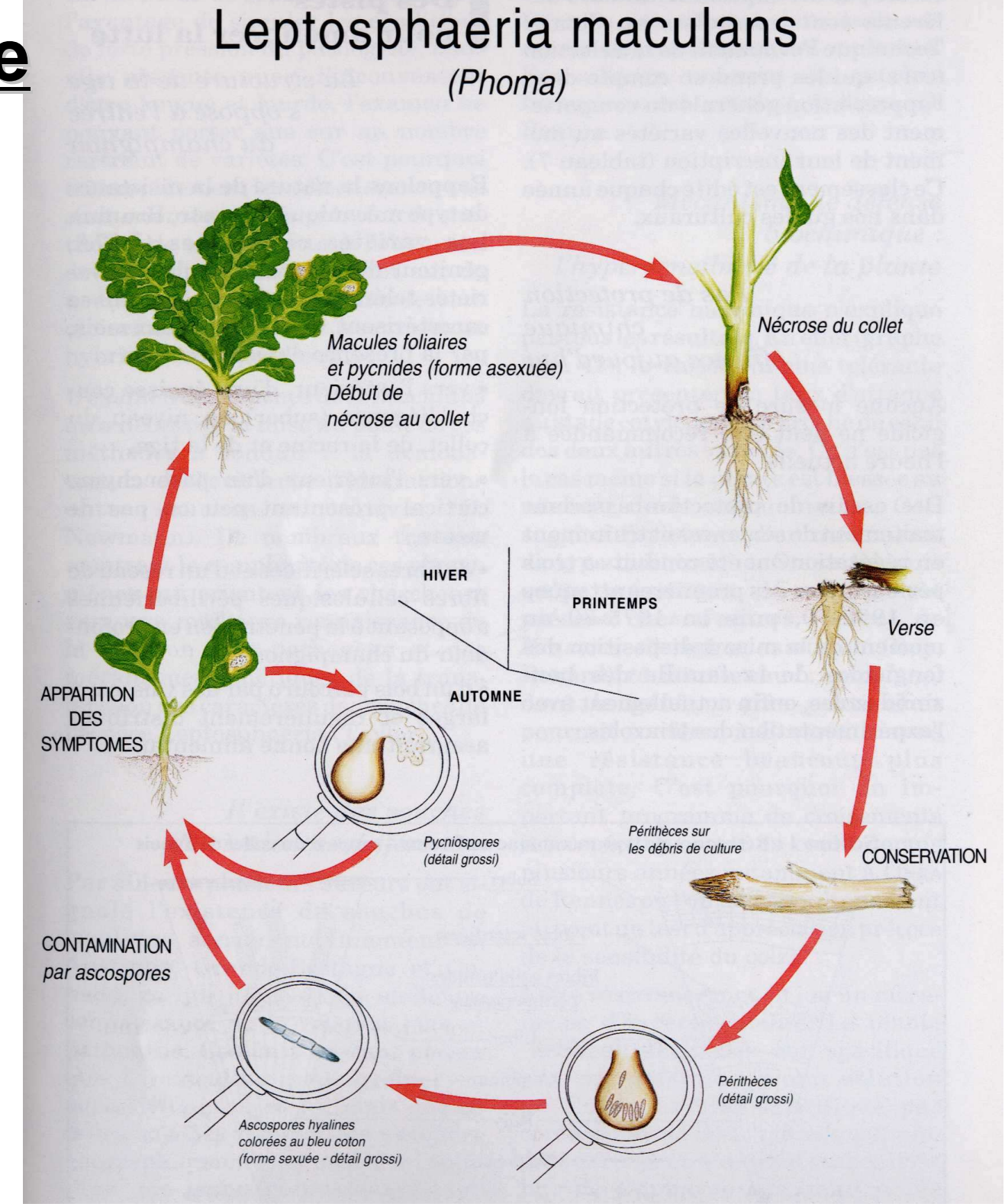
Modèle Processus Décisionnels de Markov sur Graphe: application au phoma du colza.



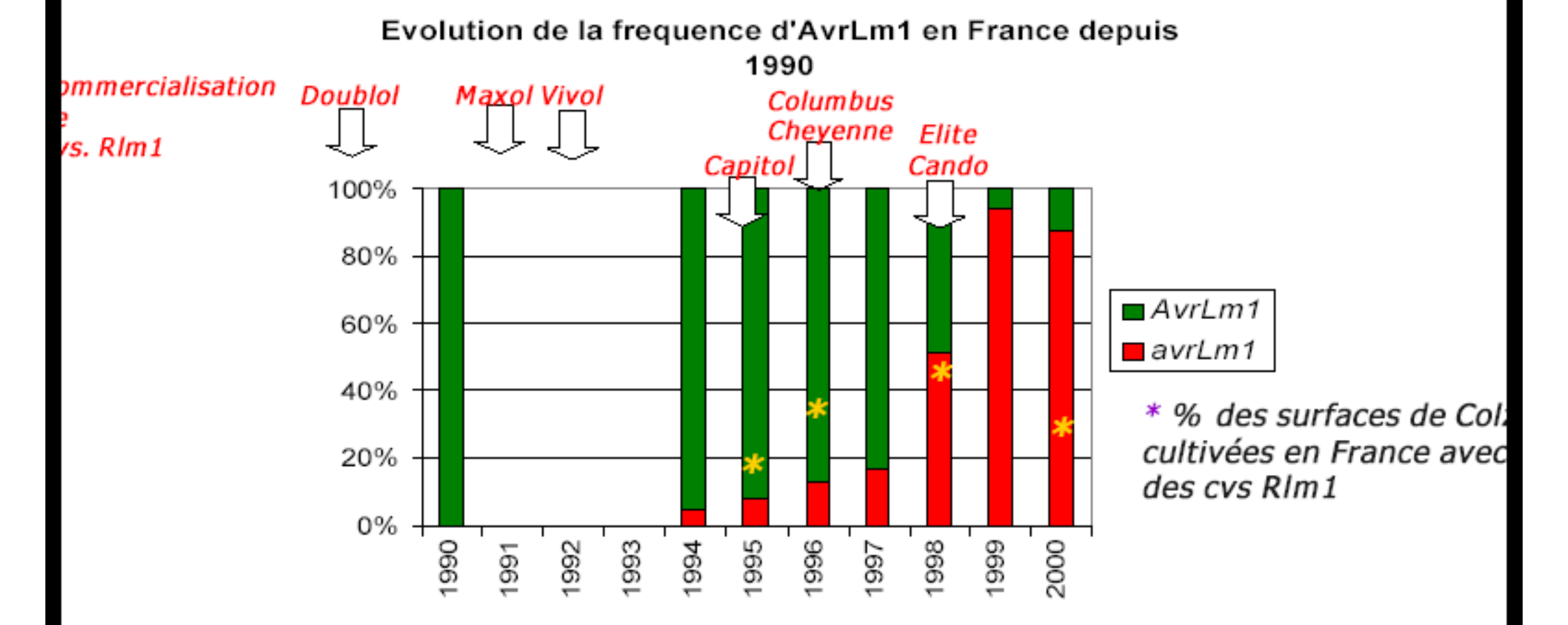


Jean-Noël Aubertot (UMR AGIR, Toulouse) Marie-Josée Cros (UR MIA, Toulouse) Nathalie Peyrard (UR MIA, Toulouse) Régis Sabbadin (UR MIA, Toulouse)

Cycle épidémique



Exemple de l'interaction AvrLm1 / Rlm1



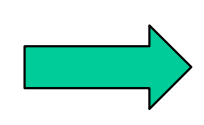
Un exemple parfait d'effondrement d'une résistance spécifique victime de son succès...

Source : Unité de Phytopathologie et Méthodologies de la Détection, INRA Versailles

"Integrated Avirulence Management involves a strategy to limit the selection pressure exerted on pathogen populations and, <u>at</u> <u>the same time</u>, reduce the size of pathogen populations by combining cultural, physical, biological or chemical methods of control".

Aubertot et al., EJPP 2006.

Existe-t-il une preuve expérimentale de l'effet du système de culture sur la vitesse d'adaptation d'une population pathogène à une résistance spécifique ?

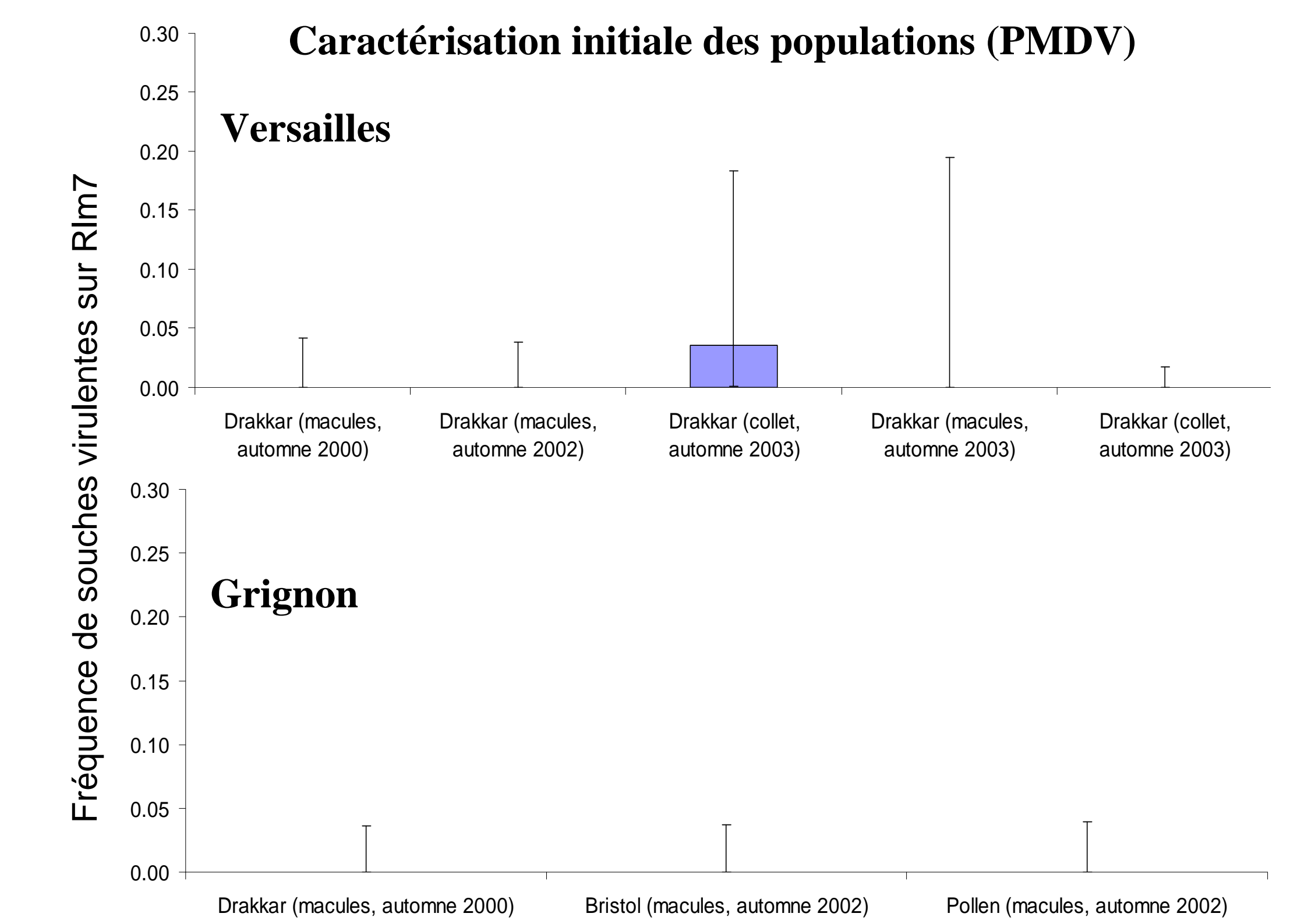


Mise en place d'une expérimentation pour tester l'hypothèse selon laquelle le système de culture influence la vitesse d'adaptation d'une population pathogène (collaboration PMDV et UMR d'Agronomie de Grignon).

Protocole

- système de culture à risque : introduction d'une nouvelle résistance (Rlm7: Roxet, puis Exagone), monoculture de colza associée à un travail du sol superficiel

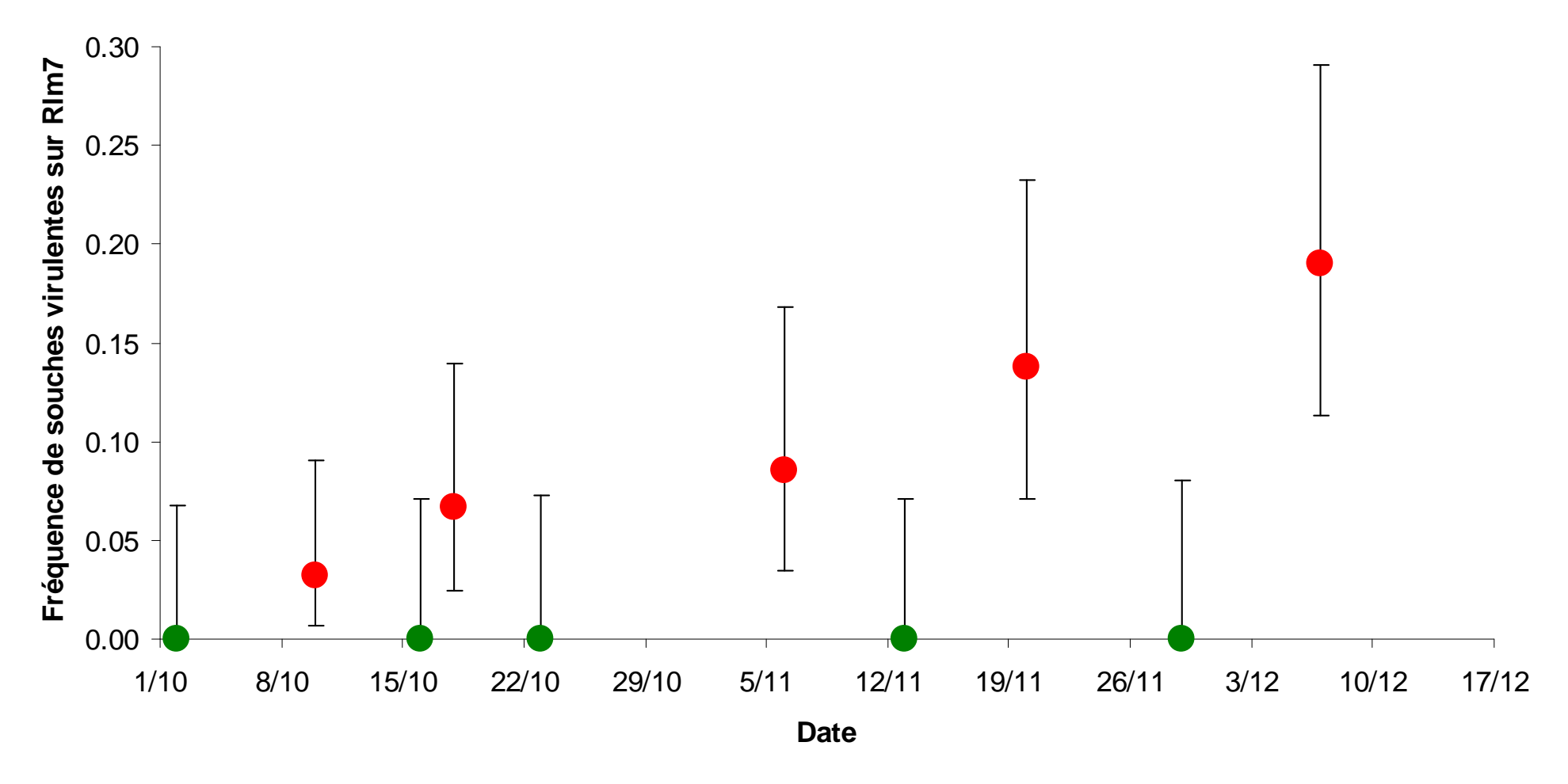
- système de culture prudent : introduction d'une nouvelle résistance (RIm7: Roxet, puis Exagone), associée à une fréquence de retour du colza faible dans la succession (<1/4 an⁻¹) et à un labour systématique avant le semis de la culture suivante
- le colza est conduit avec les mêmes règles de décision dans les 2 systèmes de culture.
- les 2 systèmes de culture sont conduits sur 2 sites distants d'une vingtaine de kilomètres (UE de Versailles-Grignon), de manière à considérer des populations de L maculans différentes, pour des scénarios climatiques voisins.
- caractérisation de la sévérité de la nécrose et de la virulence (sur une variété sans résistance spécifique)



Caractérisation de la sévérité des nécroses

- Système de culture prudent (Versailles, été 2007): G2= 0.16
- Système de culture à risque (Grignon, été 2007): G2=0.86

Caractérisation de la virulence à l'automne 2006 (PMDV), après deux années de culture (premier semis à l'été 2004)



- Système de culture prudent (Versailles)
- Système de culture à risque (Grignon)

Daverdin G, Rouxel T, Gout L, Aubertot JN, Fudal I, Meyer M, Carpezat J, Balesdent MH. Genome structure, reproductive behaviour and cultural practices impact the evolutionary potential of a fungal phytopathogen. Public Library of Science Pathogens. Sous presse..

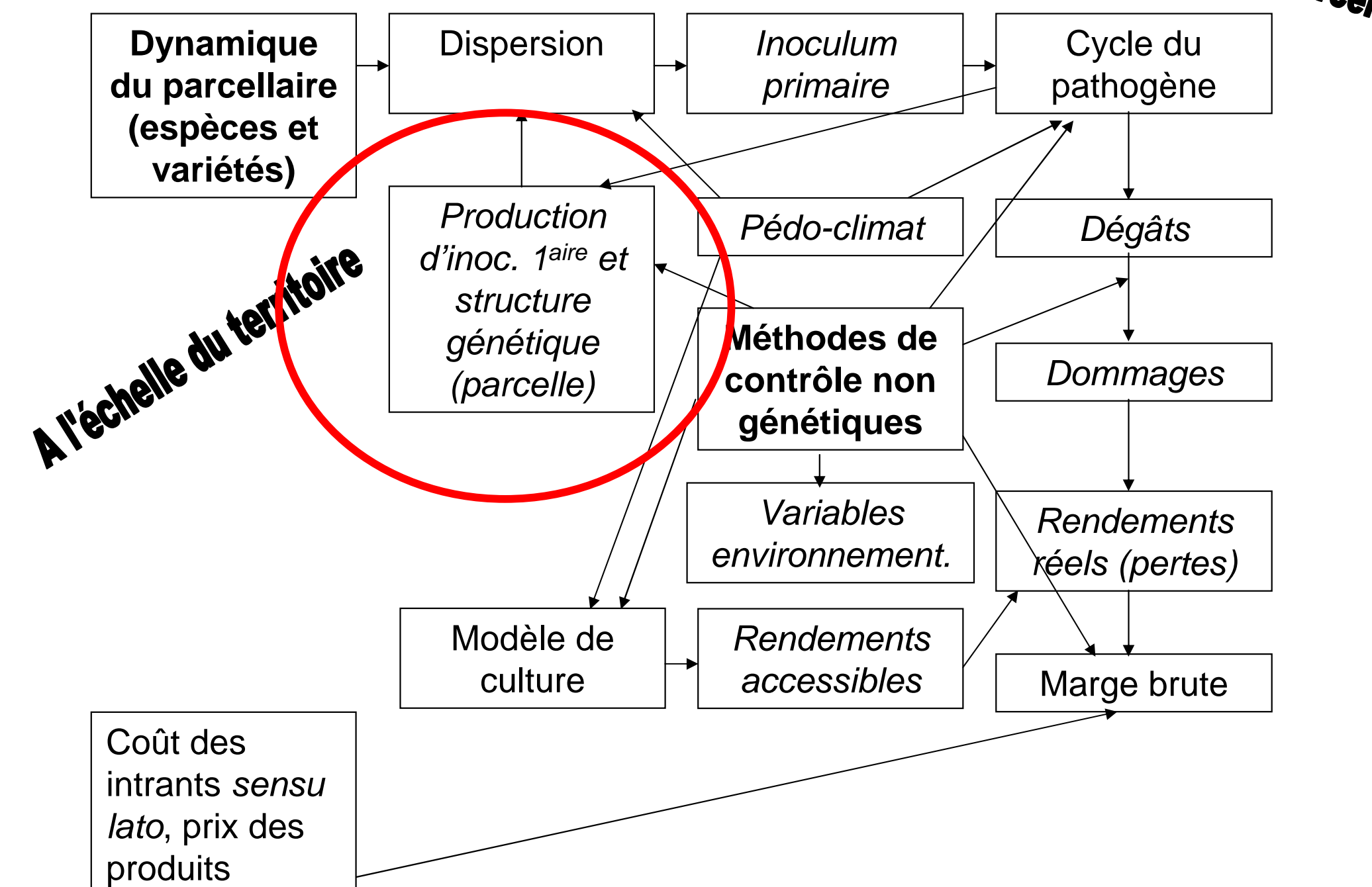
Objectif: développer un modèle représentant les effets des systèmes de culture sur les épidémies et l'adaptation des populations aux résistances variétales à l'échelle du territoire

Méthodes:

- 1) développement d'un modèle de simulation mécaniste (SIPPOM)
- 2)Processus Décisionnels de Markov sur Graphe

Schéma conceptuel de SIPPOM

A l'échelle de la parcelle



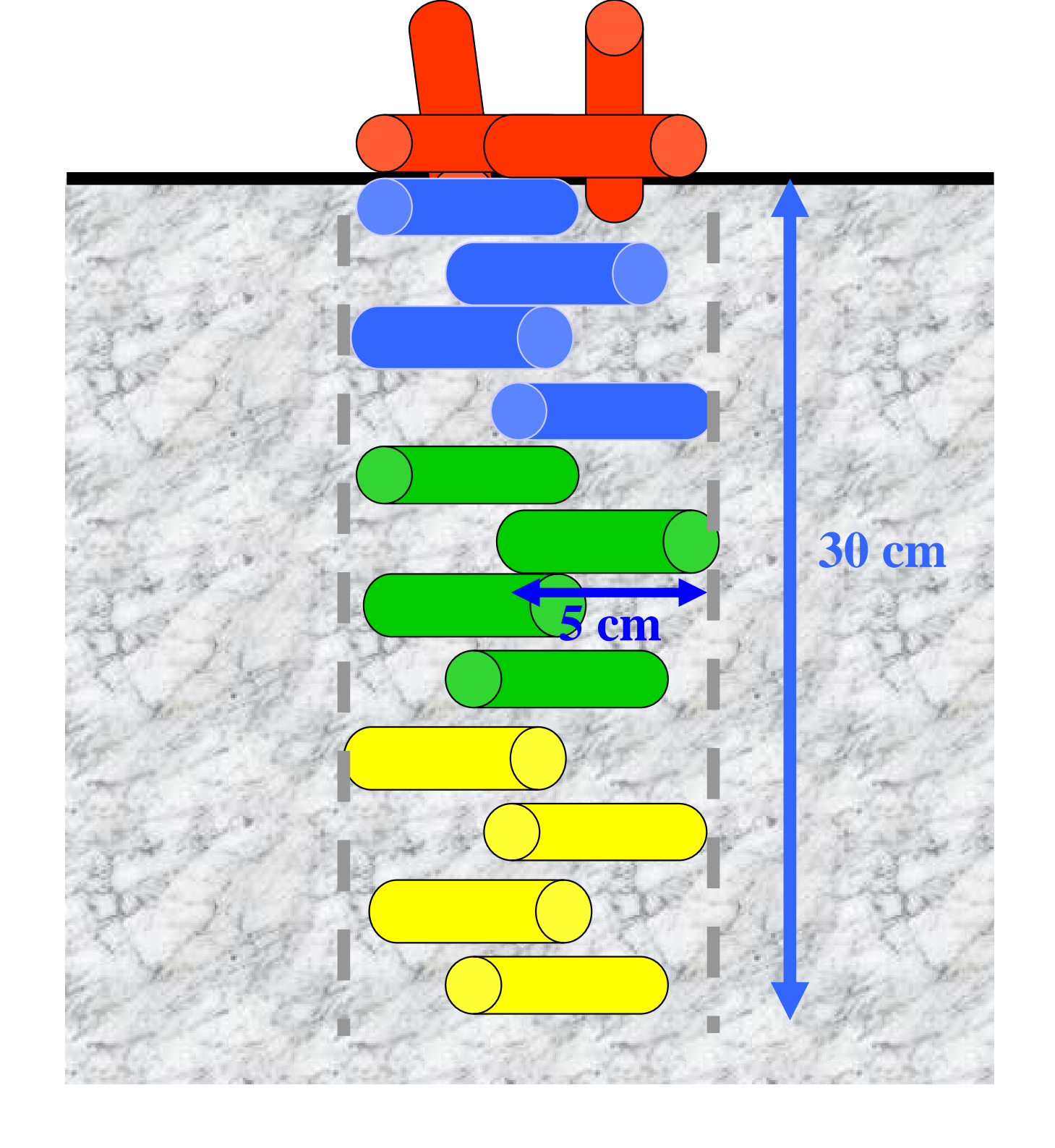
Expérimentation (Thèse O. Schneider, 2005):

Quantifier l'effet de différents types de travail du sol sur la localisation des résidus

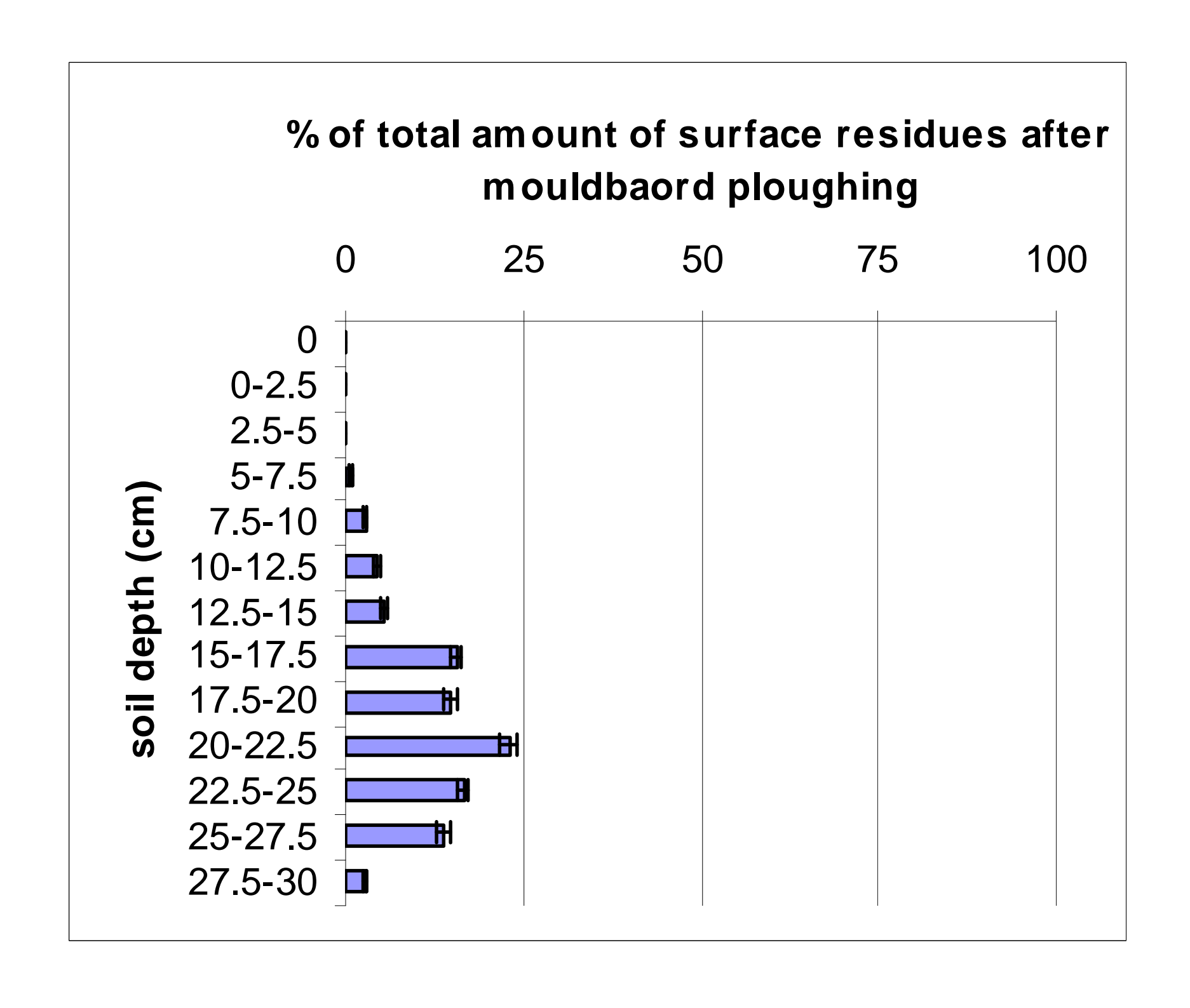
Opérations étudiées:

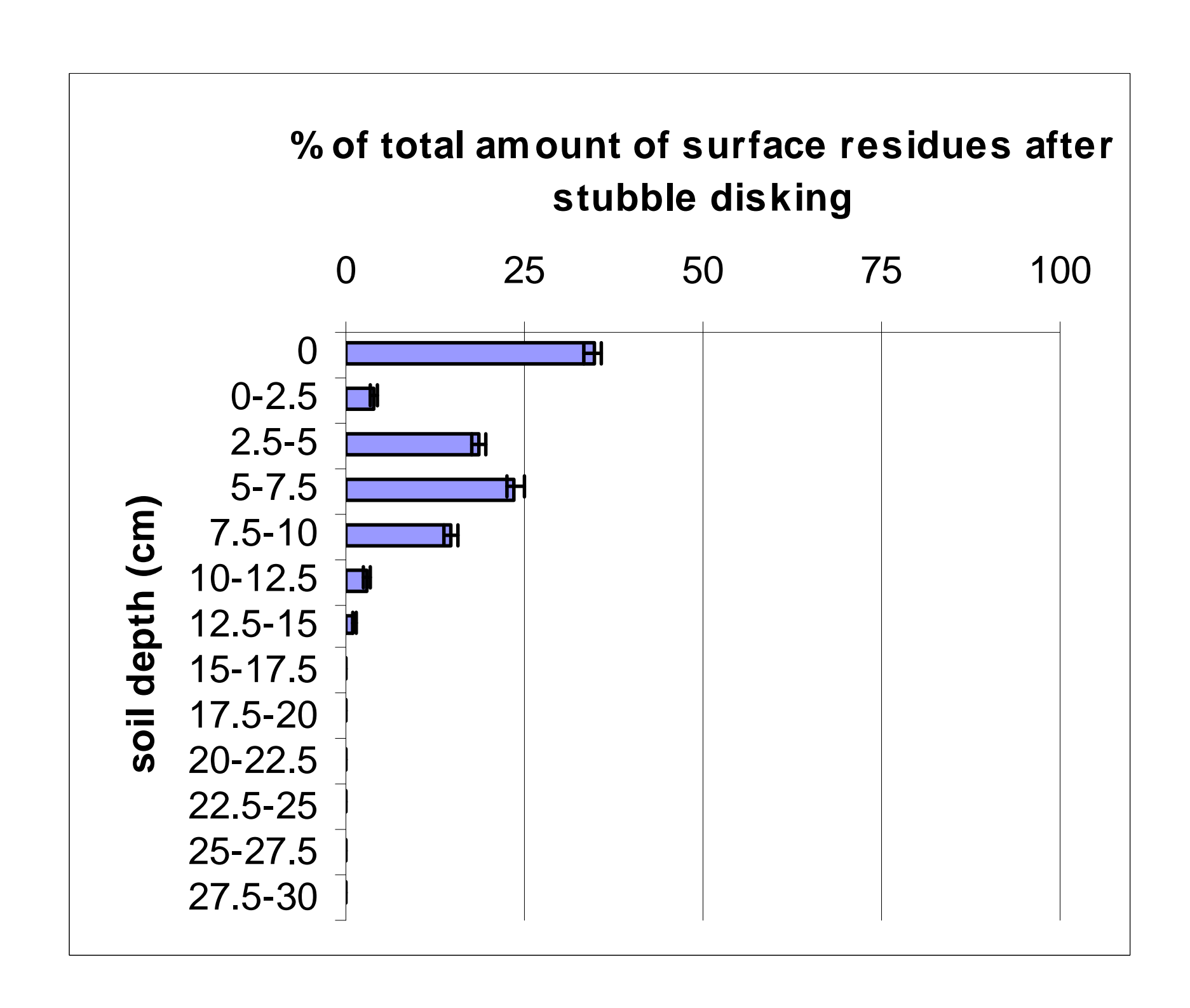
- Labour
- Herse rotative
- Cover crop
- Chisel
- Semis

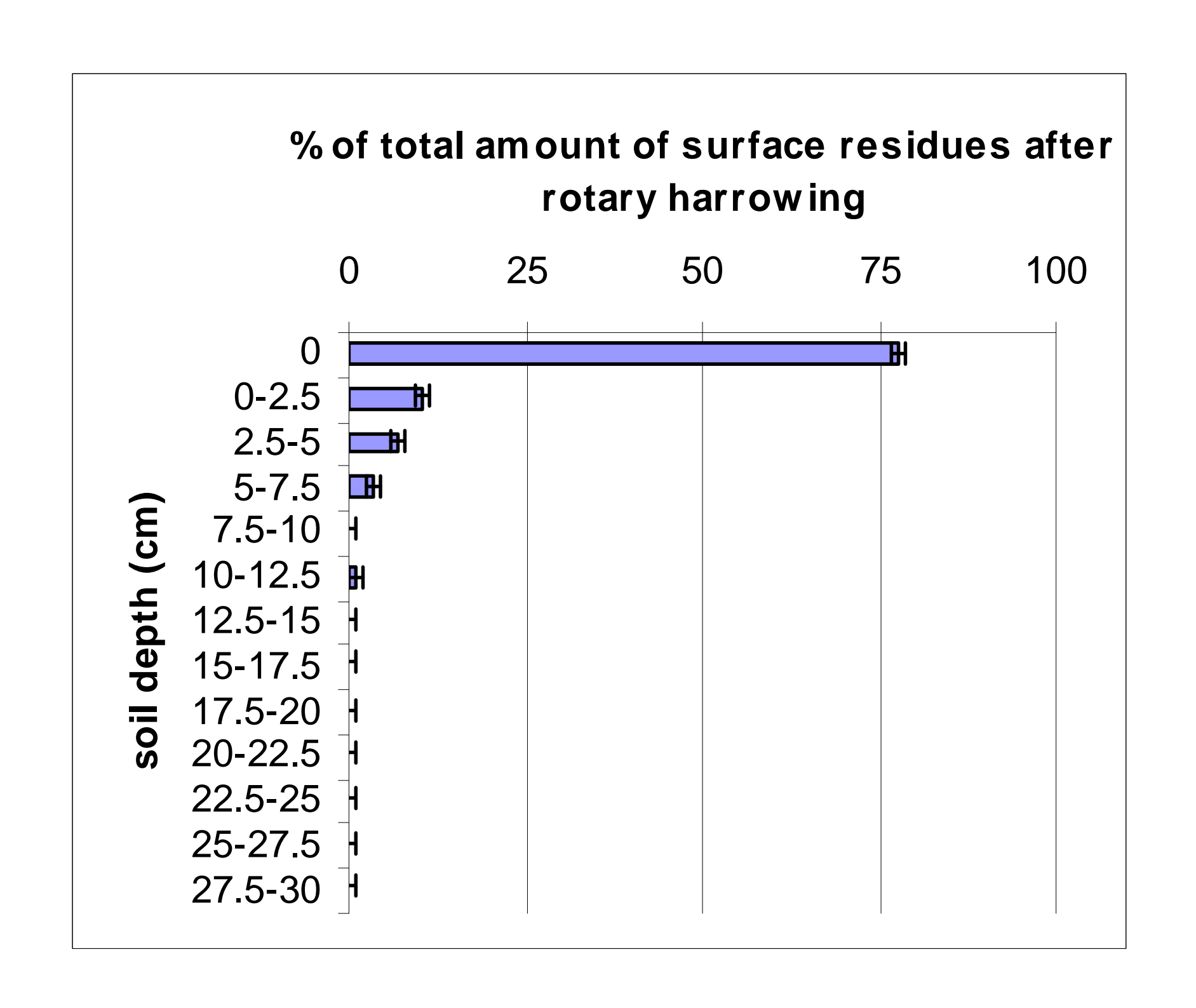
Méthode:











Simulations

					Vecteur	Vecteur
					d'état initial	d'état final
Labour	0	0.1	0.4	0.1	100	0
	0	0.3	0.3	0.1	0	0
	8.0	0.5	0.2	0.1	0	80
	0.2	0.1	0.1	0.7	0	20
	0.7	0.3	0	O	100	70
Chisel	0.3	0.5	0	O	0	30
	0	0.2	0.9	0.1	0	O
	0	0	0.1	0.9	0	O

A l'échelle de la parcelle Schéma conceptuel de SIPPOM Dispersion Inoculum **Dynamique** Cycle du du parcellaire primaire pathogène (espèces et variétés) **Production** Dégâts Pédo-climat Al'échelle du territoire d'inoc. 1aire et structure Méthodes de génétique Dommages contrôle non (parcelle) génétiques Variables Rendements environnement. réels (pertes) Modèle de Rendements culture accessibles Marge brute Coût des intrants sensu lato, prix des produits

Hypothèses de SimMat (adaptation de Sporacle, Salam et al., 2003)

- La maturation des périthèces est fonction d'un cumul de jours favorables à la maturation à partir de la récolte.
- Un jour est favorable à la maturation si la température moyenne journalière n'est ni trop élevée, ni trop basse et qu'il y a suffisament d'humidité à la surface du sol.
- Le nombre de jours favorables nécessaire à la maturation suit une distribution Gaussienne
- Une proportion de périthèces matures libère ses ascospores en fonction de la quantité de pluie reçue.

Ce que l'on peut traduire mathématiquement par :

• Si $\theta_{\min} < \theta < \theta_{\max}$ et $r > r_{\min}$ sur les derniers n_d jours DFM(d)=1

sinon

$$DFM(d)=0$$

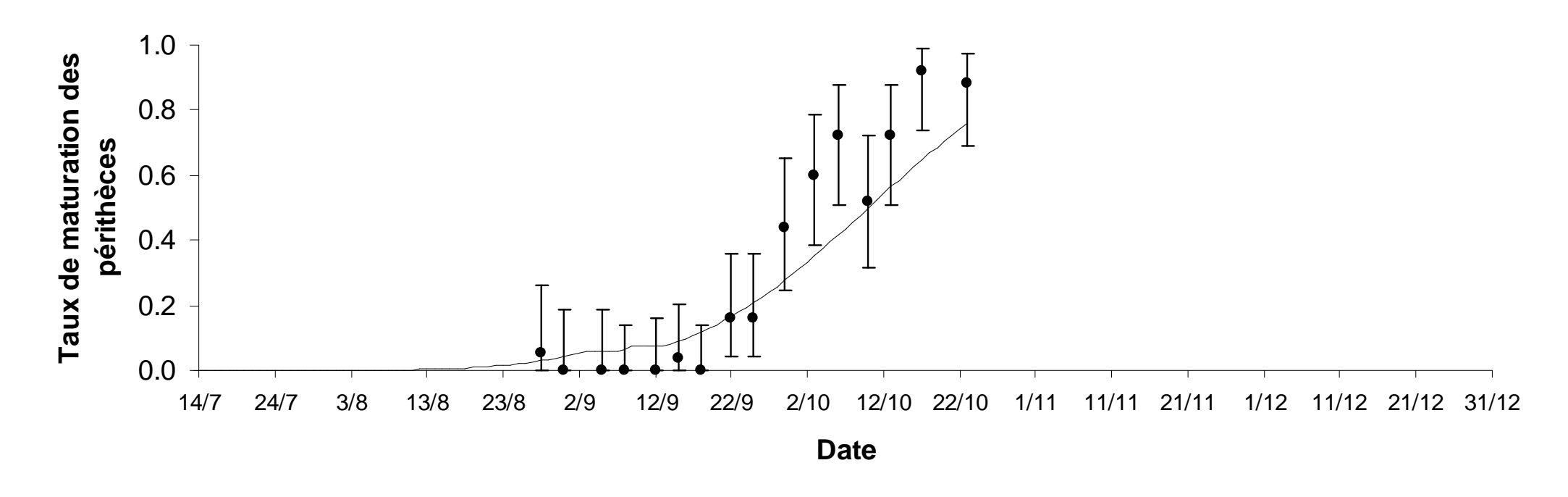
•
$$CDFM(d) = \sum_{i=0}^{d} DFM(i)$$

•
$$P_{MP}(d) \approx \frac{1}{\sigma_{FD}\sqrt{2\pi}} \int_{0}^{CDFM(d)} e^{\frac{-(x-N_{FD})^2}{2\sigma_{FD}^2}} dx$$

•
$$P_{EP}(d) = 1 - e^{-kr}$$

Evaluation de la qualité prédictive de SimMat (exemple sur un jeu de données PV, EPICENTRE)

Rosières, 2006

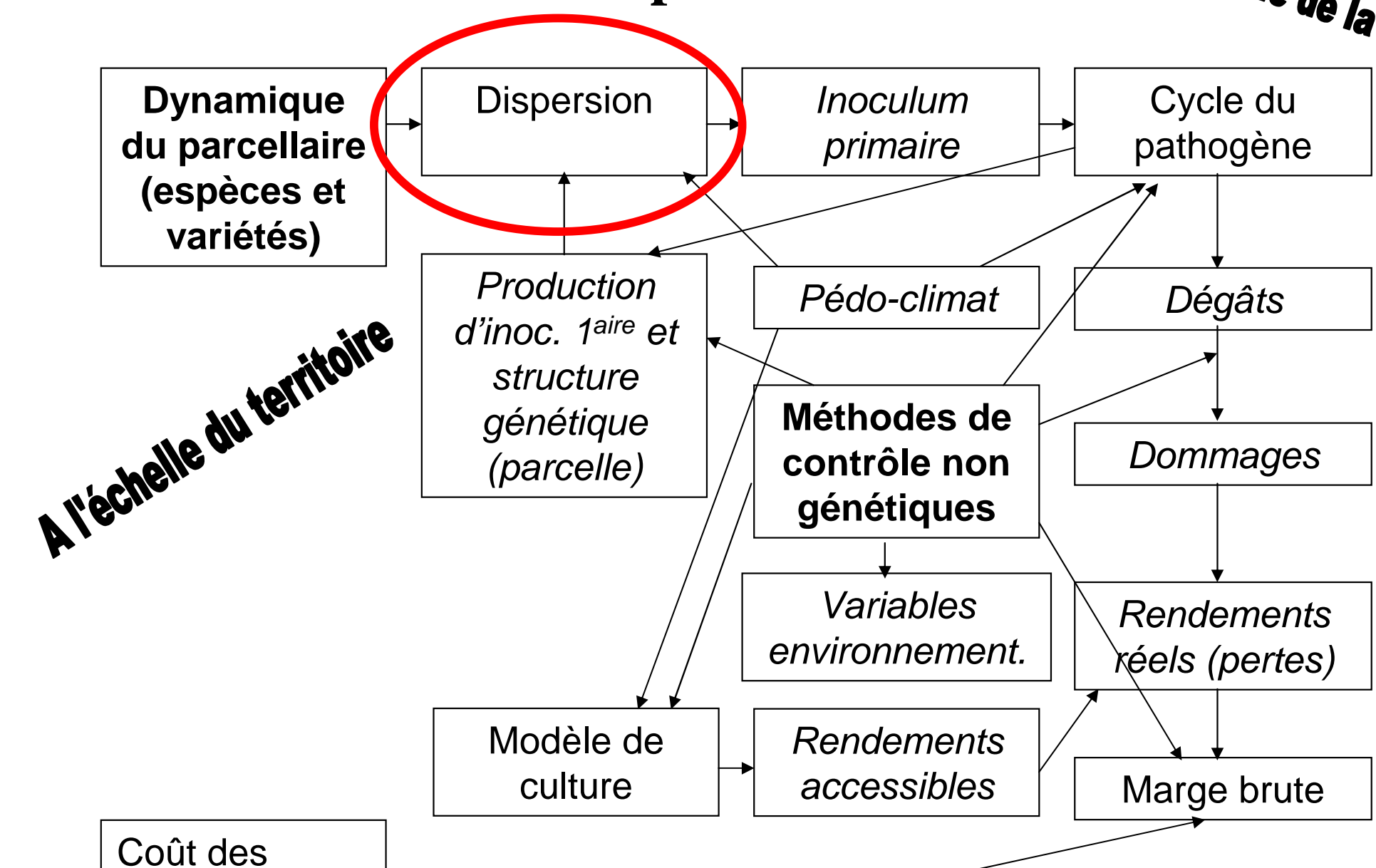


Critères statistiques en validation croisée sur 116 sites-années :

 $Bias_{CV}=0.026$, $MAE_{CV}=0.017$, $RMSEP_{CV}=0.22$, $Efficience_{CV}=0.51$

Schéma conceptuel de SIPPOM

A l'échelle de la parcelle



Coût des intrants sensu lato, prix des produits

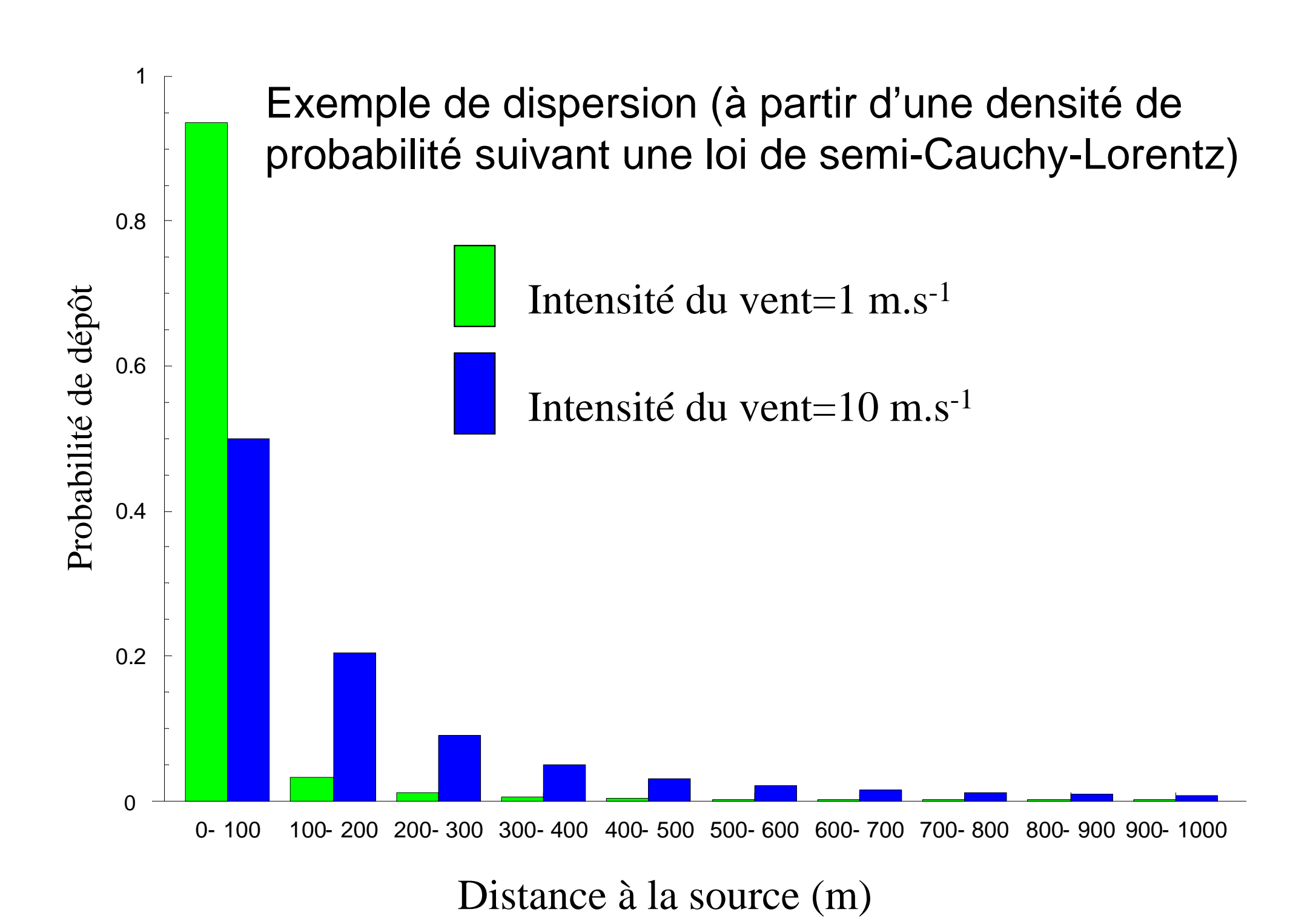
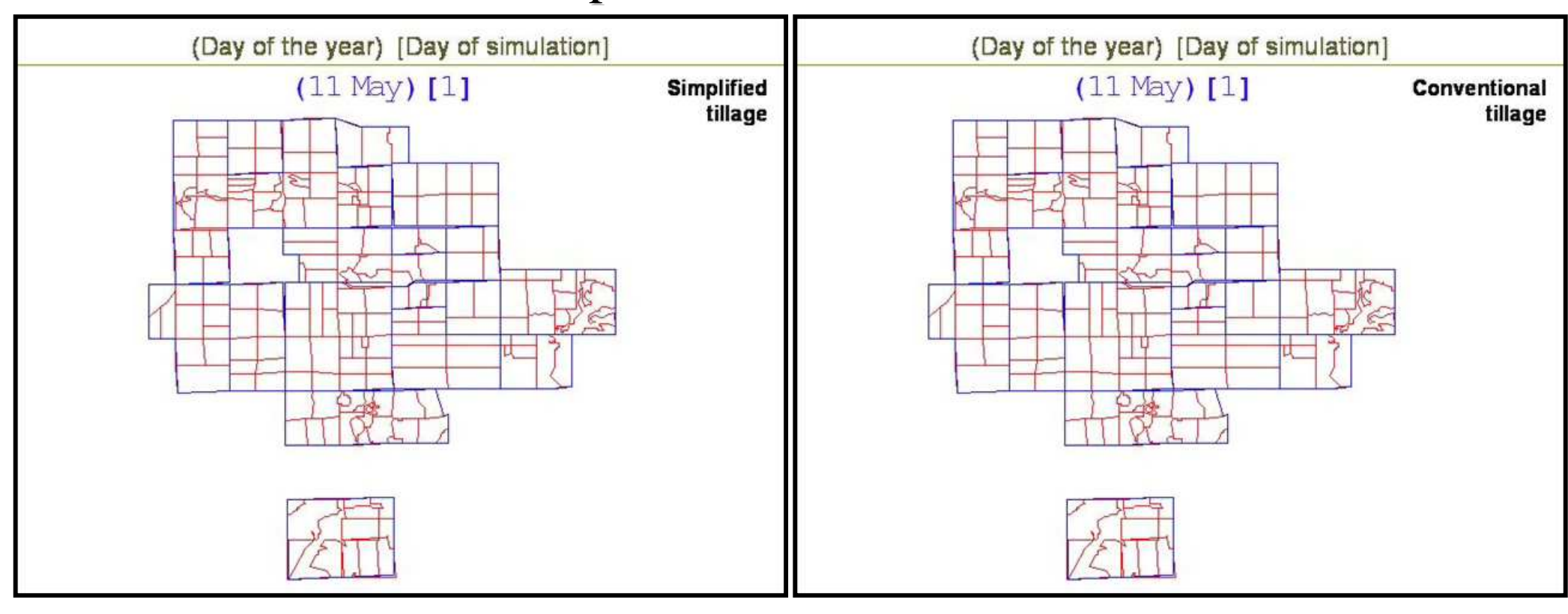


Illustration des effets du travail du sol sur l'inoculum à l'echelle du paysage (simulations réalisées à l'aide de SIPPOM)

Travail du sol simplifié

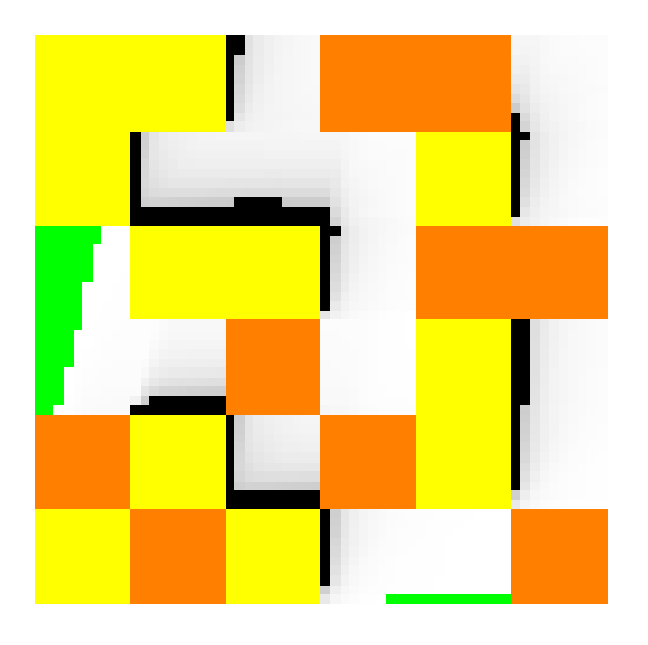
Travail du sol avec labour



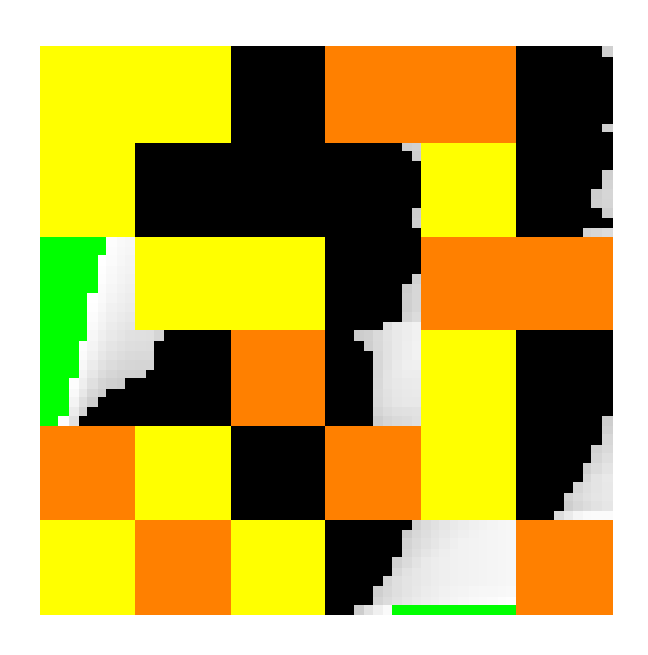
Aubertot et al., numéro spécial EJPP, 2006 collaboration Department Agriculture, Western Australia, Rothamsted Research, BIO3P

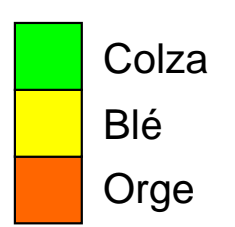
Simulation de la dispersion annuelle des spores dans deux situations

Labour



Travail simplifié



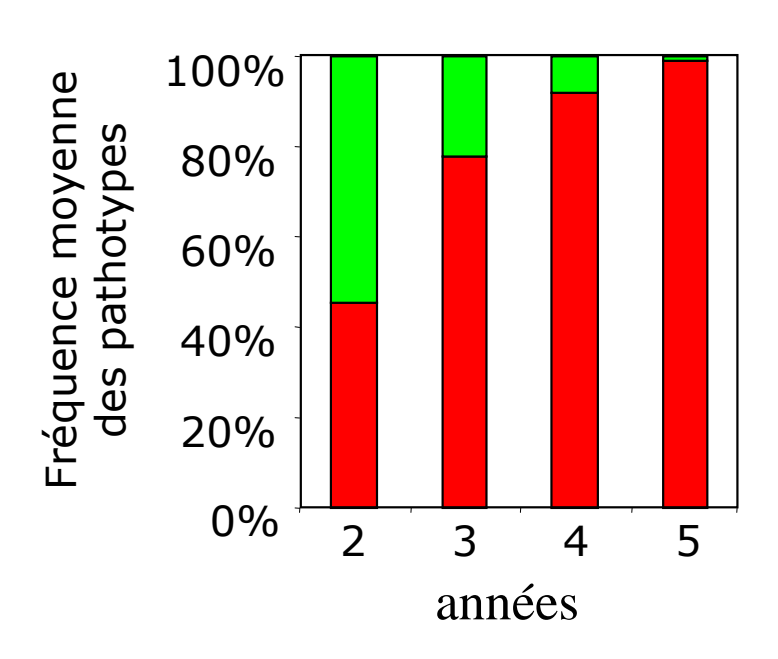


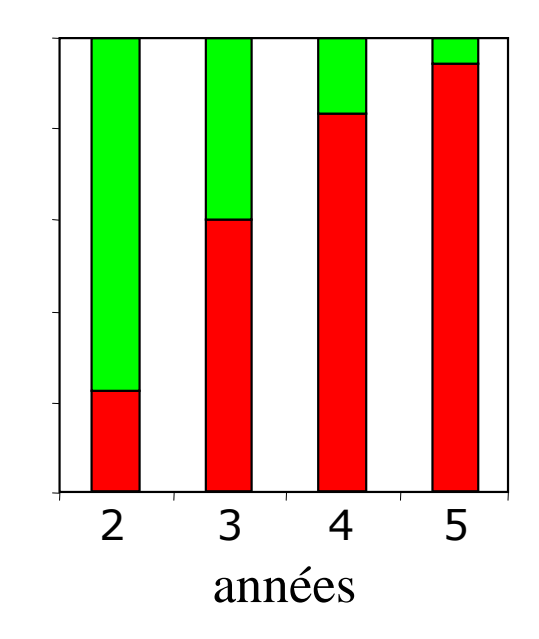


Sorties relatives à la durabilité de la résitance

50 % R. spécifique 50 % Variété sensible ITK intensif avec travail du sol simplifié 50 % R. spécifique/ ITK intégré avec labour

50 % Variété sensible/ ITK intensif avec travail du sol simplifié





- Pathotype avirulent
- Pathotypes virulents correspondants au gène de résistance introduit

Objectif: développer un modèle représentant les effets des systèmes de culture sur les épidémies et l'adaptation des populations aux résistances variétales à l'échelle du territoire

Méthodes:

- 1) développement d'un modèle de simulation mécaniste (SIPPOM)
- 2)Processus Décisionnels de Markov sur Graphe

Qu'est-ce qu'un PDM?

Un PDM est défini par un quadruplet $\langle \chi, A, p, r \rangle$:

- $\chi = \{x^1, ..., x^n\}$, états possibles du système
- $A = \{A^1, ..., A^m\}$, actions possibles
- p(x'|x, a) : probabilités de transition
- r(x, a) : fonction de récompense

Politique

$$\delta: \chi -> \mathcal{A}$$

Trajectoire

$$\tau = \langle x_0, \delta(x_0), x_1, \delta(x_1), ..., x_t, \delta(x_t) \rangle, t \in H \subseteq \{0, ... + \infty\}$$

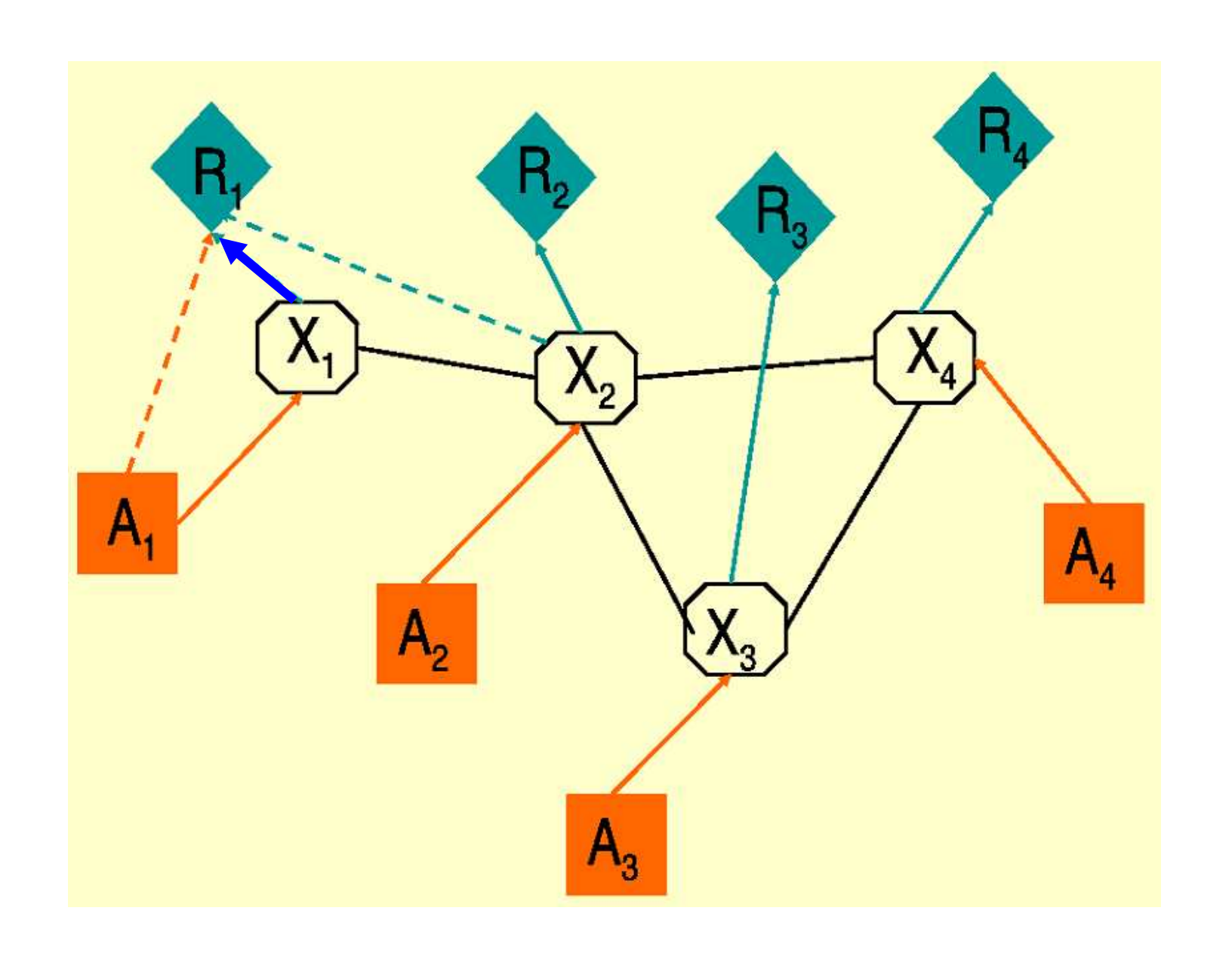
Fonction de valeur:

$$V_{\delta}(x_0) = E\left[\sum_{t \in H} \gamma^t r_t(x_t, \delta(x_t))\right], 0 \le \gamma \le 1$$

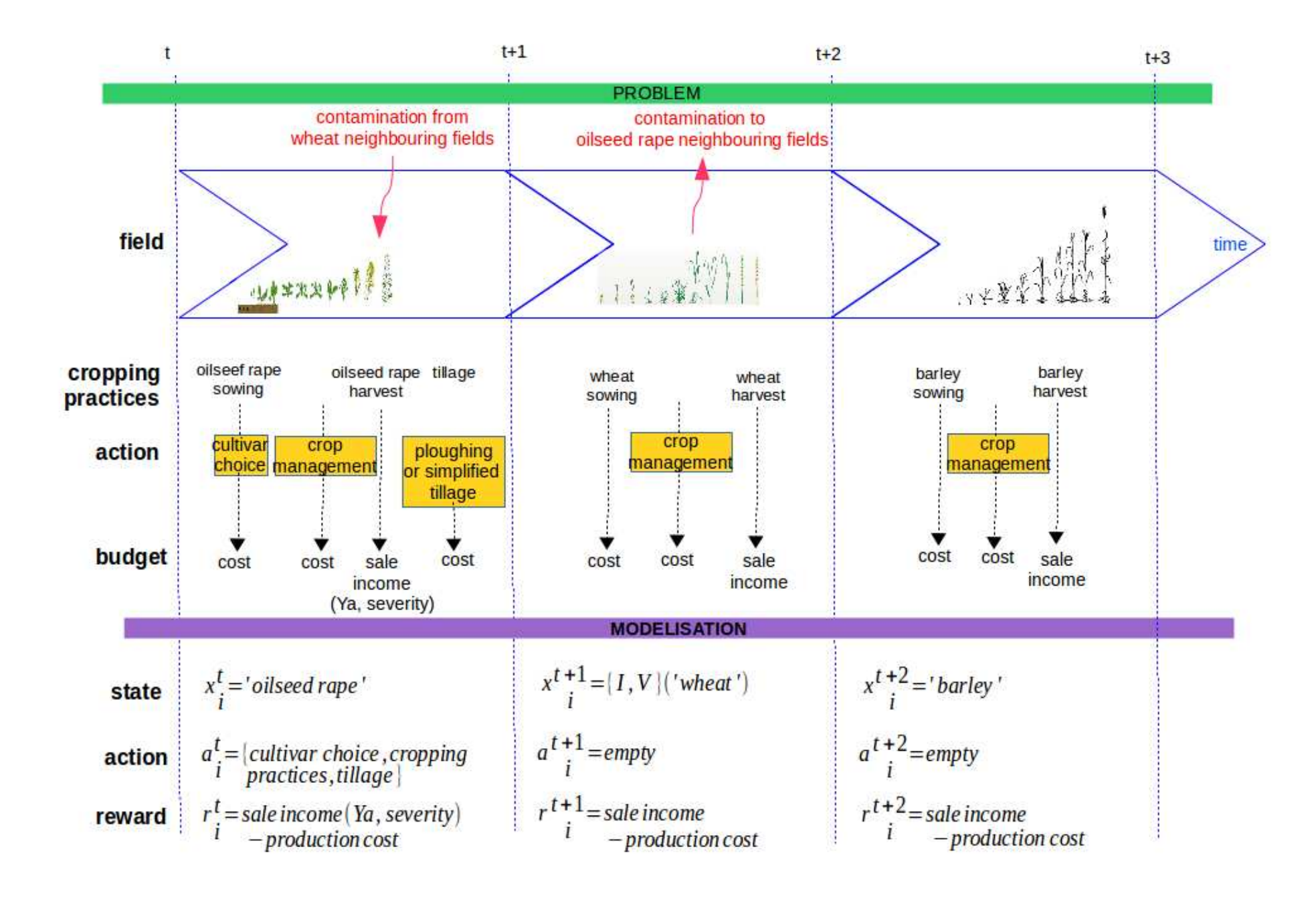
Trouver une politique optimale δ^* tq $V_{\delta^*}(x_0) \ge V_{\delta}(x_0) \ \forall \ x_0$

Qu'est-ce qu'un PDMG?

Exemple de représentation graphique d'un PDMG



Development of a simple model in a GMDP framework



Local_1:

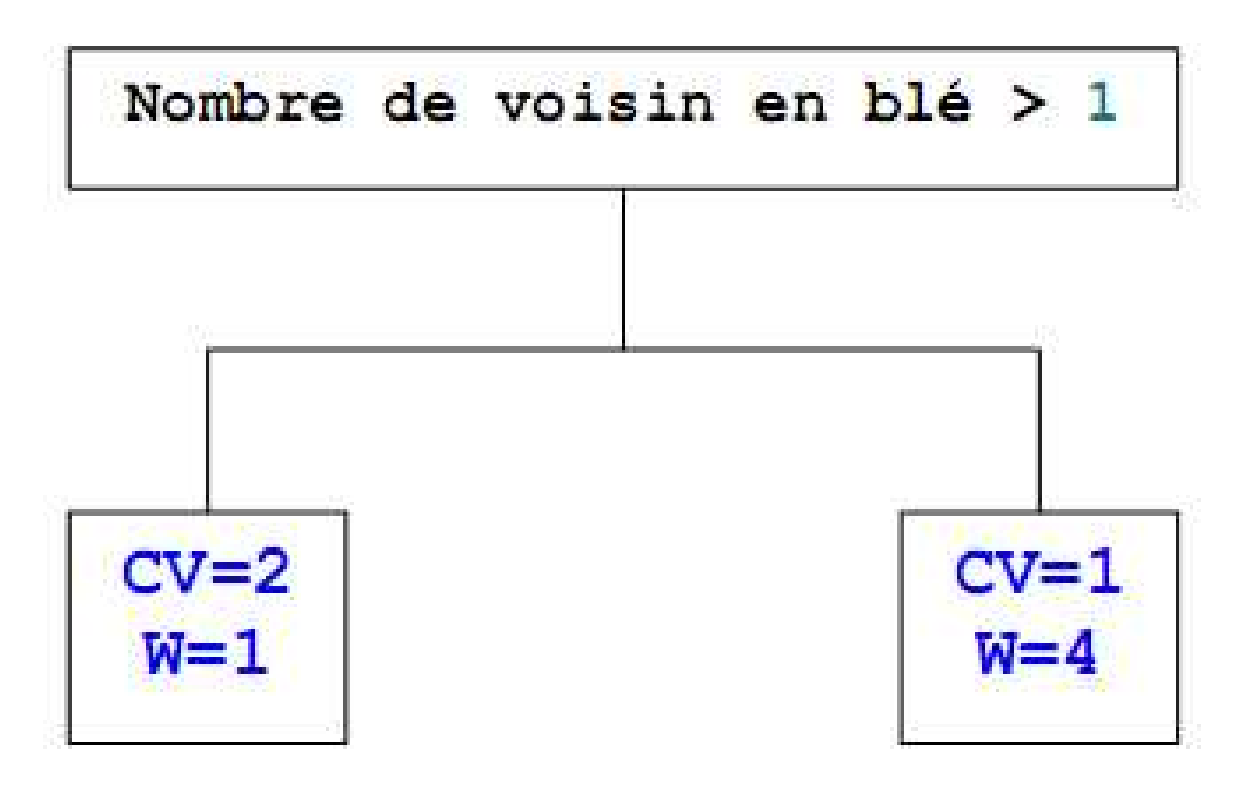
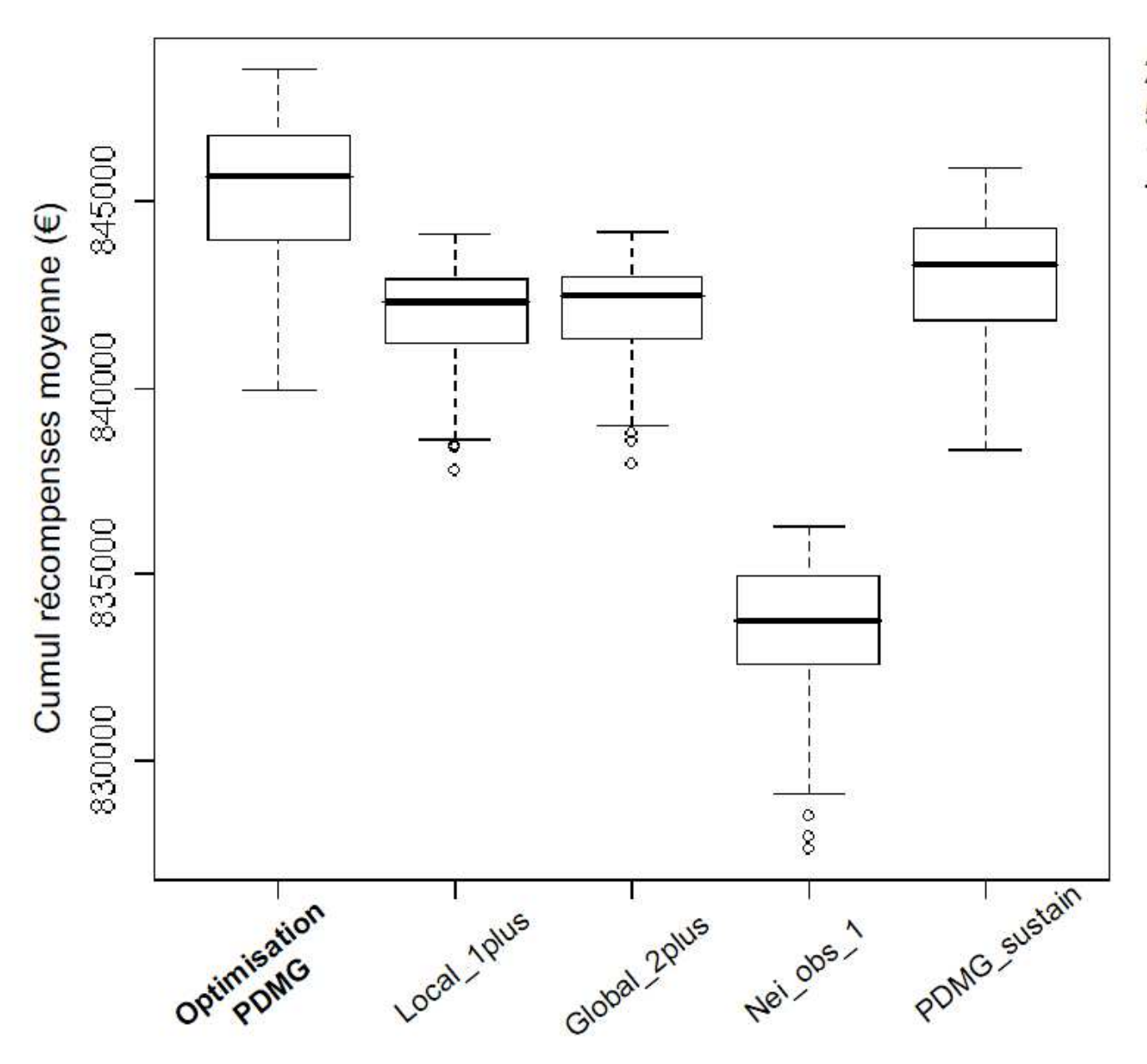


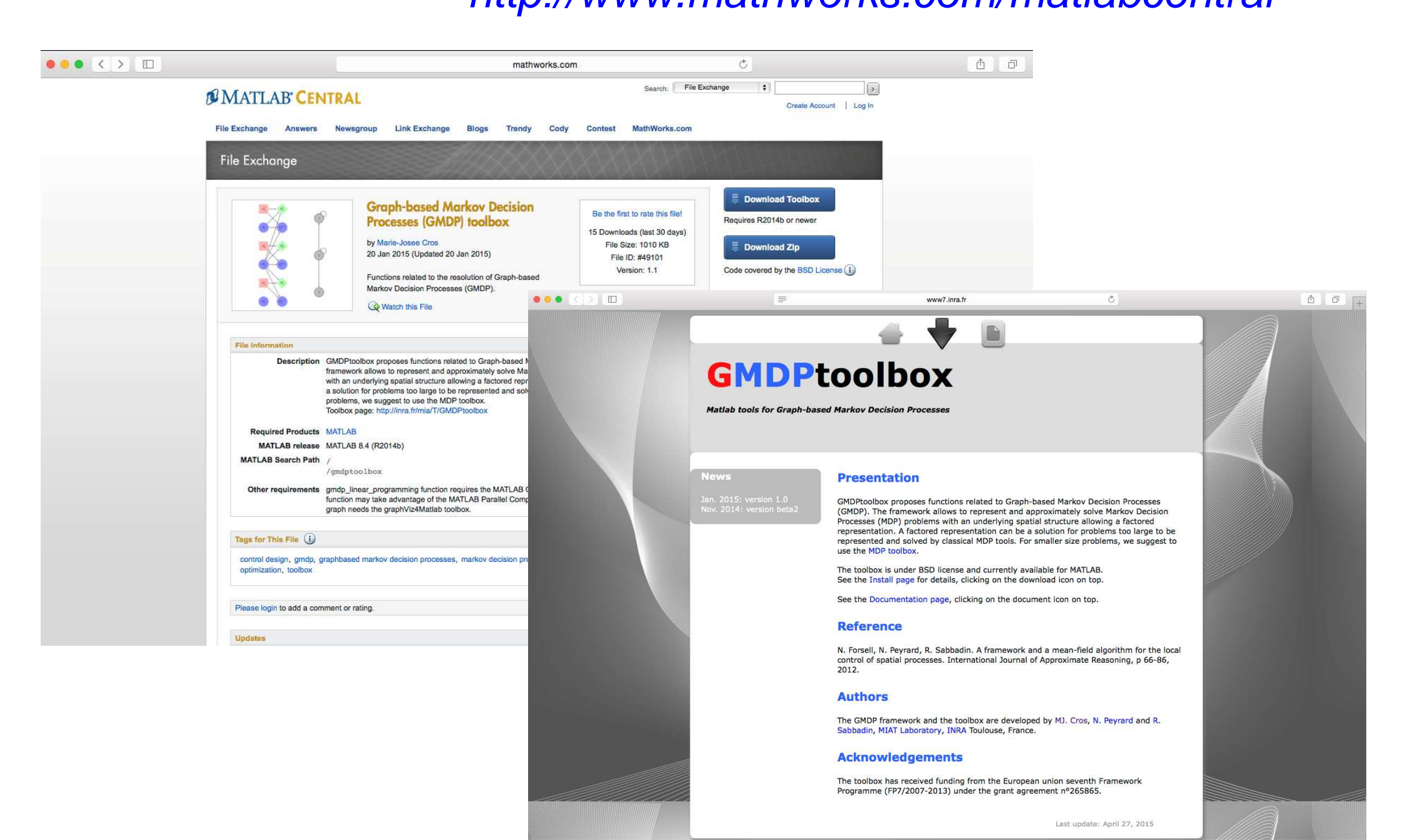
Figure 13 : arbre décisionnel de la politique Local_1. Les valeurs en bleu représentent les actions. La valeur en vert représente un seuil obtenu par optimisation.

Comparaison de stratégies



2 parcellaires (10x10) 50 états initiaux 100 simulations Trajectoire: 30 ans

GMDP toolbox (http://www.pure-ipm.eu): http://www.inra.fr/mia/T/GMDPtoolbox http://www.mathworks.com/matlabcentral



Conclusion

- Le cadre des PDMG peut être mobilisé pour aider à la gestion des bioagresseurs à des niveaux supra-parcellaires, même si des développements méthodologiques sont encore nécessaires.
- Généricité de l'approche
- Gain faible par rapport à une politique experte « gloutonne »
- Pas de certitude sur l'optimalité des stratégies retournées
- Intérêts de l'inter-disciplinarité : front de recherche->innovations méthodologiques pour l'évaluation *ex ante* de stratégies de maîtrise des bioagresseurs